

(1)

Teorema de Wick e Diagramas de Feynman

Apresentaremos agora o formalismo de expansão perturbativa, através de diagramas de Feynman. Esse formalismo é fortemente ancorado em importantes teoremas como o Teorema de Gell-Mann e Low e o teorema de Wick, aplicados a função de Green temporalmente ordenada.

Teorema de Gell-Mann e Low: Consideremos o seguinte Hamiltoniano:

$$\hat{H} = \hat{H}_0 + e^{-\eta|t|} \hat{H}_1 \quad \text{onde } \eta \text{ é uma quantidade positiva pequena}$$

Para $t \rightarrow +\infty$ ou $t \rightarrow -\infty$, temos $\hat{H} \rightarrow \hat{H}_0$ (problema solível)

Na rep. de interações, a evolução temporal de um estado será dada por:

$$|\Psi_I(t)\rangle = \hat{U}_\eta(t, t_0) |\Psi_I(t_0)\rangle \quad \text{onde}$$

$$\hat{U}_\eta(t, t_0) = \mathbb{I} + \sum_{n=1}^{\infty} \left(\frac{-i}{\hbar}\right)^n \frac{1}{n!} \int_{t_0}^t dt_1 \dots \int_{t_0}^t dt_n e^{-\eta(|t_1| + \dots + |t_n|)} T[\hat{H}_1(t_1) \dots \hat{H}_1(t_n)].$$

$T[\dots]$ → operador de orden temporal. Se $|\Phi_0\rangle$ é algum estado

de H_0 ($H_0|\Phi_0\rangle = E_0|\Phi_0\rangle$). Para $t \rightarrow -\infty$ $\hat{H} \rightarrow H_0$ entao

$$|\Psi_S(t_0 \rightarrow -\infty)\rangle = e^{-iE_0 t_0} |\Phi_0\rangle \quad \text{e} \quad |\Psi_I(t_0)\rangle = e^{iH_0 t_0} |\Psi_S(t_0)\rangle = |\Phi_0\rangle$$

Em $t=0$ temos a seguinte relação:

$$|\Psi_I(0)\rangle = |\Psi_S(0)\rangle = \hat{U}_\eta(0, -\infty) |\Phi_0\rangle$$

"Adiabatic switch on"

(2)

O teorema de Gell-Mann e Low^(*) diz o seguinte:

Se, em todos os níveis de teoria de perturbações, pudermos definir

a quantidade $\lim_{\eta \rightarrow 0} \frac{\langle U_\eta(0, -\infty) | \Phi_0 \rangle}{\langle \Phi_0 | U_\eta(0, -\infty) | \Phi_0 \rangle} = \frac{|\Psi_0\rangle}{\langle \Phi_0 | \Psi_0 \rangle}$ ($\langle \Phi_0 | \Psi_0 \rangle \neq 0$)

então $|\Psi_0\rangle$ será um auto-estado de $\hat{H} = \hat{H}_0 + e^{-\eta|t|} \hat{H}_1$.

$$\frac{\hat{H} |\Psi_0\rangle}{\langle \Phi_0 | \Psi_0 \rangle} = E |\Psi_0\rangle \quad (\langle \Phi_0 | \Psi_0 \rangle \neq 0 !)$$

Dizemos então que o estado $|\Psi_0\rangle$ se desenvolve adiabaticamente de $|\Phi_0\rangle$

(M. Gell-Mann, F. Low, Phys. Rev. 84 350 (1951)). Prova: vide Fetter & Walecká cap. 3 sec. 6

Funções de Green Temporalmente ordenadas: Sejendo $\Psi_\alpha^+(\vec{r}, t) = \Psi_\alpha(\vec{r}, t)$ operador de campo, definimos a seguinte função de Green a $T=0$:

$$G_{\alpha\beta}^{(T=0)}(\vec{r}, t, \vec{r}', t') \equiv -i \frac{\langle \Psi_0 | T(\Psi_\alpha(\vec{r}, t) \Psi_\beta^+(\vec{r}', t')) | \Psi_0 \rangle}{\langle \Psi_0 | \Psi_0 \rangle}$$

onde

$$T(\Psi_\alpha(\vec{r}, t) \Psi_\beta^+(\vec{r}', t')) = \begin{cases} \Psi_\alpha(\vec{r}, t) \Psi_\beta^+(\vec{r}', t') & t > t' \\ + \Psi_\beta^+(\vec{r}', t') \Psi_\alpha(\vec{r}, t) & t < t' \end{cases}$$

é o operador de ordenamento temporal e $|\Psi_0\rangle$ é o estado fundamental (na rep de Heisenberg) do sistema interagente:

$$\underline{H |\Psi_0\rangle = E |\Psi_0\rangle} ; \quad \Psi_\alpha(\vec{r}, t) = e^{iHt} \Psi_\alpha(\vec{r}) e^{-iHt}$$

Teorema de Wick

Para o cálculo da função de Green $G(\vec{r}, t, \vec{r}', t')$ é necessário o conhecimento de estado fundamental $|\Psi_0\rangle$ (de muôn corpus) de \hat{H} no caso interagente. Um método podemos (embora com limitações) é o cálculo de $G(\vec{r}, t, \vec{r}', t')$ em teoria de perturbações a partir das funções de Green $G^{(n)}(\vec{r}, t, \vec{r}', t')$ que envolvem o estado fundamental $|\Psi_0^{(n)}\rangle$ de \hat{H}_0 , em geral conhecido.

Esse método perturbativo se baseia no Teorema de Wick, que relaciona $G(\vec{r}, t, \vec{r}', t')$ a uma expansão envolvendo vários $G^{(n)}$.

O passo inicial para enunciar o teorema é mostrar que $G(\vec{r}, t, \vec{r}', t')$ pode ser escrita na forma: $[x \equiv (\vec{r}, t)] \quad (h \equiv I)$

$$iG_{dd'}(x, x') = \sum_{n=0}^{\infty} (-i)^n \frac{1}{n!} \int_{-\infty}^{\infty} dt_1 \dots dt_n \frac{\langle \Phi_0 | T[\hat{H}_1(t_1) \dots \hat{H}_1(t_n) \Psi_0^I(x) \Psi_0^{\dagger}(x')] | \Phi_0 \rangle}{\langle \Phi_0 | U_h(\infty, -\infty) | \Phi_0 \rangle} \quad (I)$$

onde os operadores de campo estão escritos na Representação de Interacção.

Essa expressão vem da seguinte identidade para um operador \hat{O} :

$$\frac{\langle \Psi_0 | \hat{O}_H(t) | \Psi_0 \rangle}{\langle \Psi_0 | \Psi_0 \rangle} = \frac{\langle \Phi_0 | \sum_{n=0}^{\infty} (-i)^n \frac{1}{n!} \int_{-\infty}^{\infty} dt_1 \dots dt_n e^{-i(Ht_1 + \dots Ht_n)} T[\hat{H}_1(t_1) \dots \hat{H}_1(t_n) \hat{O}_I(t)] | \Phi_0 \rangle}{\langle \Phi_0 | U_h(\infty, -\infty) | \Phi_0 \rangle} \quad (II)$$

$$\hat{O}_H(t) = e^{iHt} \hat{O} e^{-iHt} \quad (\text{Heisenberg}) ; \quad \hat{O}_I(t) = e^{-iH_0 t} \hat{O} e^{iH_0 t}$$

Prova: Pelo Teorema de Gell-Mann e Low temos

$$\frac{|\Psi_0\rangle}{\langle\Phi_0|\Psi_0\rangle} = \frac{U_n(0, \pm\infty)|\Phi_0\rangle}{\langle\Phi_0|U_n(0, \pm\infty)|\Phi_0\rangle} \quad \text{de modo que, para } t_0 \rightarrow \pm\infty$$

$$\begin{aligned} \frac{\langle\Psi_0|\Psi_0\rangle}{|\langle\Phi_0|\Psi_0\rangle|^2} &= \frac{\langle\Phi_0|U_n^+(0, \infty) U_n(0, -\infty)|\Phi_0\rangle}{\langle\Phi_0|U_n(0, \infty)|\Phi_0\rangle^* \langle\Phi_0|U_n(0, -\infty)|\Phi_0\rangle} = \begin{cases} U(t_1, t_0) = U(t_0, t) \\ U(t_1, t_2) U(t_2, t_3) = U(t_1, t_3) \end{cases} \\ &= \frac{\langle\Phi_0|U_n(\infty, 0) U_n(0, -\infty)|\Phi_0\rangle}{|\langle\Phi_0|\Psi_0\rangle|^2} = \frac{\langle\Phi_0|U_n(+\infty, -\infty)|\Phi_0\rangle}{|\langle\Phi_0|\Psi_0\rangle|^2}, \end{aligned}$$

Por outro lado: $(\hat{O}_H(t) = U(0, t) \hat{O}_I(t) U(t, 0))$

$$\begin{aligned} \langle\Psi_0|\hat{O}_H(t)|\Psi_0\rangle &= \frac{\langle\Phi_0|U_n(\infty, 0) U_n(0, t) \hat{O}_I(t) U_n(t, 0) U_n(0, -\infty)|\Phi_0\rangle}{|\langle\Phi_0|\Psi_0\rangle|^2} \\ &= \frac{\langle\Phi_0|U_n(\infty, t) \hat{O}_I(t) U_n(t, -\infty)|\Phi_0\rangle}{|\langle\Phi_0|\Psi_0\rangle|^2} \quad \text{Logo} \end{aligned}$$

$$\frac{\langle\Psi_0|\hat{O}_H(t)|\Psi_0\rangle}{\langle\Psi_0|\Psi_0\rangle} = \frac{\langle\Phi_0|U_n(\infty, t) \hat{O}_I(t) U_n(t, -\infty)|\Phi_0\rangle}{\langle\Phi_0|U_n(+\infty, -\infty)|\Phi_0\rangle} \quad \left. \begin{array}{l} \text{calcularmos} \\ \text{denominador:} \end{array} \right\}$$

$$\begin{aligned} U_n(\infty, t) \hat{O}_I(t) U_n(t, -\infty) &= \sum_{l=0}^{\infty} (-i)^l \frac{1}{l!} \int_t^{\infty} dt_1 \dots dt_l T[\hat{H}_1(t_1) \dots \hat{H}_l(t_l)] \times e^{-i(H_0 + H_{ext})t} \times \hat{O}_I(t) \\ &\quad \sum_{m=0}^{\infty} (-i)^m \frac{1}{m!} \int_{-\infty}^t dt_1 \dots dt_m T[\hat{H}_1(t_1) \dots \hat{H}_m(t_m)] \times e^{-i(H_0 + H_{ext})t} \quad (\text{III}) \end{aligned}$$

(5)

O passo final é mostrar a integral da expressão (II) é igual à integral da expressão (III). A integral em (II) pode ser dividida para um dado n , em l fatores onde $t_e > t$ e m fatores onde $t_m < t$ tal que $l+m=n$. Há $\frac{n!}{l!m!}$ maneiras de fazer isso para cada l,m

Mas, nesses casos, teremos:

$$\sum_{l,m} \frac{n!}{l!m!} \underbrace{[T[\hat{H}_1(t_1) \dots \hat{H}_1(t_l)] \hat{O}_I(t)]}_{l \text{ fatores } t_e > t} \underbrace{[T[\hat{H}_1(t_{l+1}) \dots \hat{H}_1(t_m)] \hat{O}_I(t)]}_{m \text{ fatores } t > t_m}$$

Logo, a soma em (I) fica:

$$\sum_{n=0}^{\infty} (-i)^n \frac{1}{n!} \sum_{l=0}^{\infty} \sum_{m=0}^{\infty} \delta_{n,m+l} \frac{n!}{l!m!} \int_{-\infty}^{\infty} dt_1 \dots dt_l e^{-\eta(|t_1| + \dots + |t_l|)} T[\hat{H}_1(t_1) \dots \hat{H}_1(t_l)] \times \hat{O}_I(t) \times \int_t^{\infty} dt_{l+1} \dots dt_m e^{-\eta(|t_{l+1}| + \dots + |t_m|)} T[\hat{H}_1(t_{l+1}) \dots \hat{H}_1(t_m)]$$

restringe a
apenas $n=m+l$

$$= \begin{pmatrix} \text{soma sobre } n \\ n \rightarrow m+l \\ (-i)^n = (-i)^m (-i)^l \end{pmatrix} = \sum_{l=0}^{\infty} \frac{(-i)^l}{l!} \int_t^{\infty} dt_1 \dots dt_l e^{-\eta(|t_1| + |t_l|)} T[\hat{H}_1(t_1) \dots \hat{H}_1(t_l)] \times \hat{O}_I(t) \times \int_{-\infty}^t dt_{l+1} \dots dt_m e^{-\eta(|t_{l+1}| + |t_m|)} T[\hat{H}_1(t_{l+1}) \dots \hat{H}_1(t_m)] = (\text{III}) //$$

O que completa nossa prova.

(6)

A questão agora é calcular $G(x, x')$ para um formato específico da interação \hat{H}_I . O caso mais interessante são termos quárticos (interações Coulombianas, por exemplo) na forma:

$$\hat{H}_I = \frac{1}{2} \int d^3\vec{r}_1 d^3\vec{r}_2 \sum_{\alpha\alpha' \beta\beta'} U(\vec{r}_1, \vec{r}_2) \Psi_\alpha^+(\vec{r}_1) \Psi_\beta^+(\vec{r}_2) \Psi_{\alpha'}^-(\vec{r}_2) \Psi_{\beta'}^-(\vec{r}_1) \quad \left(\begin{array}{l} \text{(soma em } \alpha, \alpha', \beta, \beta' \\ \text{subentendida)} \end{array} \right)$$

Definindo $U_{\alpha\alpha'}(x_1, x_2) \equiv U_{\alpha\alpha'}(\vec{r}_1, \vec{r}_2) \delta(t_1 - t_2)$ (forma covariante),

a equação (I) fica escrita na forma:

$$iG_{dd'}(x, x') = i\tilde{G}_{dd'}(x, x') \quad (n=0)$$

$$\langle \Phi_0 | U_n(\infty, -\infty) | \Phi_0 \rangle$$

onde

Operadores na Rep. de Interacão
Quais braços que tem uma $\delta(t_i - t'_i)$ aqui

$$i\tilde{G}_{dd'}(x, x') = iG_{dd'}^{(0)}(x, x') + (-i) \sum_{\alpha\alpha' \beta\beta'} \frac{1}{2} \int d^4x_1 d^4x'_1 U_{\alpha\alpha'}(x_1, x'_1) \times$$

$$\cdot \langle \Phi_0 | T[\Psi_\alpha^+(x_1) \Psi_\beta^+(x'_1) \Psi_\beta^-(x'_1) \Psi_\alpha^-(x_1)] | \Phi_0 \rangle$$

$$+ (-i)^2 \left(\frac{1}{2}\right)^2 \sum_{\alpha\alpha' \beta\beta'} \sum_{\gamma\gamma'} \int d^4x_1 d^4x'_1 d^4x_2 d^4x'_2 U_{\alpha\alpha'}(x_1, x'_1) U_{\beta\beta'}(x_2, x'_2) \times$$

$$\langle \Phi_0 | T[\Psi_\alpha^+(x_1) \Psi_\beta^+(x'_1) \Psi_\beta^-(x'_1) \Psi_\alpha^-(x_1) \Psi_\gamma^+(x_2) \Psi_\gamma^+(x'_2) \Psi_\gamma^-(x'_2) \Psi_\gamma^-(x_2)] | \Phi_0 \rangle \quad (IV)$$

$$+ (n=3) \quad (1) + \dots$$

e assim por diante.

A primeira dificuldade técnica é calcular os valores esperados $\langle \Phi_0 | T[\dots \text{muitos operadores...}] | \Phi_0 \rangle$. Aí entra o Teorema de Wick. Em sua forma "fraca", ele diz que o valor esperado de um ordenamento temporal de $n=2p$ operadores (p de criação e p de destruição) é igual à soma dos produtos dos valores esperados de ordenamentos de pares de operadores possíveis.

Um exemplo:

$$\begin{aligned} \langle \Phi_0 | T[\psi_\alpha^+ \psi_\beta^+ \psi_\beta^- \psi_{\alpha'}^-] | \Phi_0 \rangle &= \underbrace{\langle \Phi_0 | T[\psi_\alpha^+ \psi_{\alpha'}^-] | \Phi_0 \rangle}_{=(-1)^2} \times \underbrace{\langle \Phi_0 | T[\psi_\beta^+ \psi_{\beta'}^-] | \Phi_0 \rangle}_{=(-1)^2} \\ &\xrightarrow{(-1)^1} -\langle \Phi_0 | T[\psi_\alpha^+ \psi_{\beta'}^-] | \Phi_0 \rangle \langle \Phi_0 | T[\psi_\beta^+ \psi_{\alpha'}^-] | \Phi_0 \rangle \\ &\quad + \underbrace{\langle \Phi_0 | T[\psi_\alpha^+ \psi_\beta^+] | \Phi_0 \rangle}_{=0} \underbrace{\langle \Phi_0 | T[\psi_\beta^- \psi_{\alpha'}^-] | \Phi_0 \rangle}_{=0} \end{aligned}$$

Os sinais que aparecem na frente do produto são dados, apenas no caso de operadores fermionicos (não bosonicos) por $(-1)^p$ onde p é o número de permutações necessárias no ordenamento original para "parear" os operadores. (Por exemplo, no segundo termo $\psi_\beta^+ \leftrightarrow \psi_{\beta'}^- \Rightarrow p=1$. Já no primeiro termo: $\psi_{\alpha'}^- \leftrightarrow \psi_\beta^-; \psi_\alpha^+ \leftrightarrow \psi_\beta^+ \Rightarrow p=2$.

A prova dessa versão do Teorema está feita (na linguagem de funções de Green) no livro de Brueck + Flensberg via Eq. de Movimento. No Fetter & Waleck^(Sec 8) está feita a prova da versão "forte", que é uma identidade de operadores (é uma propriedade de valor esperado).

O Teorema de Wick entao nos permite "quebrar" os valores esperados dos termos da função de Green na Eq. (IV) em somas de produtos de funções de Green nos interagentes do tipo:

$$i\tilde{G}_{\alpha\beta}^{(0)}(x, x') = \langle \bar{\Phi}_0 | T[\psi_\alpha(x)\psi_\beta^\dagger(x')] | \Phi_0 \rangle$$

Por exemplo, o termo de 1^ª ordem ($n=1$) fica: (faça você mesmo!)

$$\langle \bar{\Phi}_0 | T[\psi_\alpha^+(x)\psi_\beta^+(x')\psi_\beta(x')\psi_\alpha(x)\psi_\alpha^+(x')] | \Phi_0 \rangle = \langle \bar{\Phi}_0 | \dots | \Phi_0 \rangle \rightarrow \langle \dots \rangle,$$

$$\begin{aligned} & \left\langle T[\psi_\alpha(x)\psi_\alpha^+(x')]\right\rangle_o \cdot \left(\left\langle T[\psi_\alpha\psi_\alpha^+]\right\rangle_o \left\langle T[\psi_\beta\psi_\beta^+]\right\rangle_o - \left\langle T[\psi_\beta\psi_\alpha^+]\right\rangle_o \left\langle T[\psi_\alpha\psi_\beta^+]\right\rangle_o \right) \\ & \quad + \left\langle T[\psi_\alpha(x)\psi_\alpha^+(x')]\right\rangle_o \left(-\left\langle T[\psi_\beta\psi_\beta^+]\right\rangle_o \left\langle T[\psi_\alpha\psi_\alpha^+]\right\rangle_o + \left\langle T[\psi_\beta\psi_\alpha^+]\right\rangle_o \left\langle T[\psi_\alpha\psi_\beta^+]\right\rangle_o \right) \\ & \quad - \left\langle T[\psi_\alpha(x)\psi_\beta^+(x')]\right\rangle_o \left(-\left\langle T[\psi_\alpha\psi_\beta^+]\right\rangle_o \left\langle T[\psi_\beta\psi_\alpha^+]\right\rangle_o + \left\langle T[\psi_\beta\psi_\beta^+]\right\rangle_o \left\langle T[\psi_\alpha\psi_\alpha^+]\right\rangle_o \right) \end{aligned}$$

ou seja, até 1^ª ordem temos

$$\begin{aligned} i\tilde{G}(x, x') &= i\tilde{G}_{\alpha\beta}^{(0)}(x, x') + (-i)^2 \tilde{G}_{\alpha\beta}^{(0)}(x, x') \left(\sum_{\substack{\alpha\alpha' \\ \beta\beta'}} \int d^4x_1 d^4x'_1 \tilde{G}_{\alpha\alpha'}^{(0)}(x_1, x_1) U_{\beta\beta'}(x_1, x'_1) \tilde{G}_{\beta\beta'}^{(0)}(x'_1, x_1) \right. \\ &\quad \left. - \tilde{G}_{\alpha'\beta}^{(0)}(x_1, x'_1) U_{\beta\beta'}(x_1, x'_1) \tilde{G}_{\beta\alpha'}^{(0)}(x'_1, x_1) \right) \\ &\quad + (-i)^2 \sum_{\substack{\alpha\alpha' \\ \beta\beta'}} \int d^4x_1 d^4x'_1 \tilde{G}_{\alpha\alpha'}^{(0)}(x_1, x_1) U_{\beta\beta'}(x_1, x'_1) \tilde{G}_{\alpha'\beta}^{(0)}(x'_1, x_1) \\ &\quad - \tilde{G}_{\alpha\alpha'}^{(0)}(x_1, x_1) U_{\beta\beta'}(x_1, x'_1) \tilde{G}_{\beta\beta'}^{(0)}(x'_1, x_1) \\ &\quad + (-i)^2 \sum_{\substack{\alpha\alpha' \\ \beta\beta'}} \int d^4x_1 d^4x'_1 \tilde{G}_{\beta\beta'}^{(0)}(x_1, x_1) U_{\alpha\alpha'}(x'_1, x_1) \tilde{G}_{\alpha'\alpha}^{(0)}(x_1, x'_1) \\ &\quad - \tilde{G}_{\beta\beta'}^{(0)}(x_1, x_1) U_{\alpha\alpha'}(x'_1, x_1) \tilde{G}_{\alpha'\alpha}^{(0)}(x_1, x'_1) \\ &\quad + \mathcal{O}(U^2) \end{aligned} \tag{V}$$

$i\tilde{G}^{(0)} = \langle T\psi\psi^\dagger \rangle$

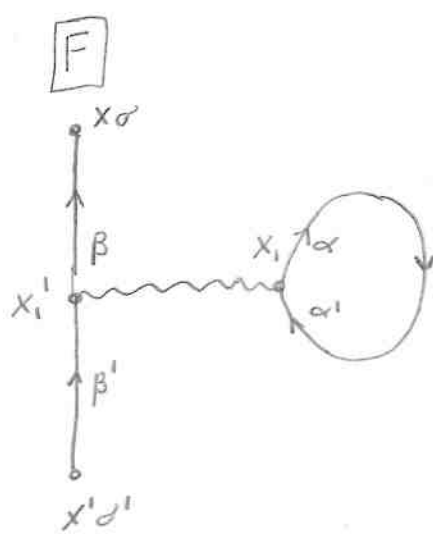
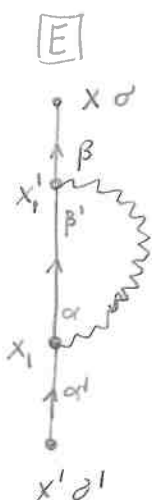
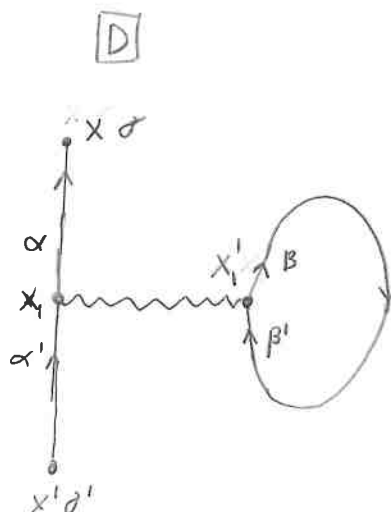
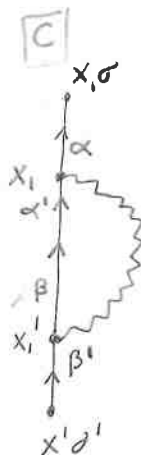
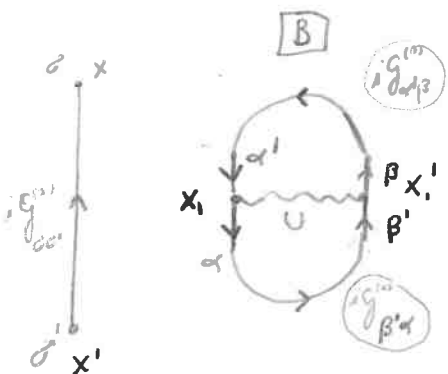
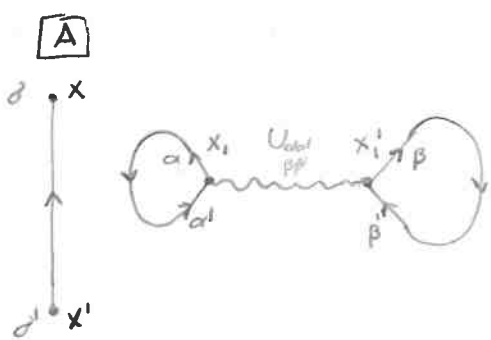
9

Escreveremos agora esses termos em uma representação gráfica onde adotamos a seguinte convenção:

$$i G_{\alpha\beta}^{(1)}(x_1, x_2) \rightarrow \begin{array}{c} \alpha \\ \beta \\ x_1 \quad x_2 \end{array}$$

$$(-i) \cup_{\substack{\alpha \\ \beta \\ \alpha' \\ \beta'}}(x_A, x_B) \rightarrow \begin{array}{c} \alpha \\ \beta \\ x_A \quad x_B \\ \alpha' \quad \beta' \end{array}$$

Os 6 termos de $\tilde{G}(x, x')$ ($x = (\vec{r}, t)$) ficam então



Esses diagramas representam os termos na Eq. (V)

se lembrarmos que a cada vértice corresponde a uma integral $\int d^4x_i$, e que os diagramas \boxed{B} , \boxed{D} e \boxed{E} contribuem com um sinal negativo. Não por acaso, esses diagramas têm um número ímpar de "circuitos fechados" fermionicos.

Alguns comentários:

- Os diagramas \boxed{A} e \boxed{B} tem linhas "desconectadas". Elas vêm de termos $iG_{\alpha\beta}^{(0)}(x_i, x')$ que aparecem fors da integral $\int d^4x_i d^4x'_i$.
- Os diagramas \boxed{C} e \boxed{E} e \boxed{D} e \boxed{F} são idênticos, diferindo apenas pela troca $x_i \leftrightarrow x'_i$, $\alpha \leftrightarrow \beta$ ($\alpha' \leftrightarrow \beta'$). Na verdade, os termos representados por esses diagramas são iguais pois o potencial $U(x_i, x'_i)$ é simétrico em relação à troca $x \leftrightarrow x'$ e a soma nos índices daí conta das outras trocas. Assim, o fator " χ " se cancela e podemos considerar apenas uma contribuição (ex \boxed{C} e \boxed{D})
- Voltando aos diagramas "desconectados": podemos "escrever" $\boxed{A} + \boxed{B}$ como:

$$x \left(\text{Diagrama } \boxed{A} + \text{Diagrama } \boxed{B} \right)$$

O termo faktorado entre parênteses são, na verdade, as contribuições em 1ª ordem para o denominador da Eq. (I) :

$$\langle \bar{\psi}_0 | U(\infty, -\infty) | \bar{\psi}_0 \rangle = 1 + \text{Diagrama } \boxed{A} + \text{Diagrama } \boxed{B} + \text{Diagrama } \boxed{C} + \text{Diagrama } \boxed{D} + \dots$$

Isso vem do fato de que $\langle U(\infty, -\infty) \rangle_0$ tem uma estrutura parecida a \tilde{G}_{dd} com a importante diferença que os operadores $\Psi_\alpha(x)$ e $\Psi_\beta^\dagger(x')$ não entram na ordem temporal:

$$\langle U(\infty, -\infty) \rangle_0 = \sum_{n=0}^{\infty} \frac{(-i)^n}{n!} \int_{-\infty}^{\infty} dt_1 \dots dt_n \langle T[\hat{H}_1(t_1) \dots \hat{H}_n(t_n)] \rangle_0 e^{-i(H_1 t_1 + \dots + H_n t_n)}$$

$$= 1 + \frac{(-i)}{2} \sum_{\substack{\alpha \alpha' \\ \beta \beta'}} \int d^4x_i d^4x'_i \langle T[\Psi_\alpha^\dagger(x_i) \Psi_\beta^\dagger(x'_i) \Psi_\beta(x'_i) \Psi_\alpha(x_i)] \rangle_0 + \dots$$

\downarrow Teorema de Wick

$$= 1 + \frac{(-i)}{2} \sum_{\substack{\alpha \alpha' \\ \beta \beta'}} \left(i G_{\alpha \alpha'}^{(0)}(x_i, x_i) U(x_i, x'_i) i G_{\beta \beta'}^{(0)}(x'_i, x'_i) \right. \\ \left. - i G_{\alpha' \beta}^{(0)}(x_i, x'_i) U(x_i, x'_i) i G_{\beta' \alpha}^{(0)}(x'_i, x_i) \right) + \dots$$

$$= 1 + \frac{1}{2} \text{Diagram } \textcircled{A} - \frac{1}{2} \text{Diagram } \textcircled{B} + \dots$$

Dessa forma, o termo fatorado de diagramas desconectados

em $\tilde{G}_{dd}(x, x')$ "cancela" com o denominador de $G_{dd} = \frac{\tilde{G}_{dd}}{\langle U(\infty, -\infty) \rangle_0}$

- Um último comentário: para diagramas de ordem $n \geq 1$, temos

$2n$ variáveis de integração mudar (x_n, x'_n) que podem ser permutadas (em par) de $n!$ maneiras diferentes mas que dão o mesmo resultado.

Isto cancela o fator $\frac{1}{n!}$ e escolhermos apenas uma "ordem" das pares (x_n, x'_n) para etiquetar os n pares de partidas desses diagramas. (Note que

isso é independente da troca $x_n \leftrightarrow x'_n$ em cada par que cancela o fator $\frac{1}{2}$).

Estamos, por fim, prontos para enunciar as regras para construções de diagramas de Feynman de ordem n para o cálculo de $G_{\alpha\alpha'}(x, x')$:

1) Desenhe todos os diagramas conectados topologicamente distintos com n linhas de interação e com início em x' e final em x . Associe $x_n \alpha_n$ e $x'_n \alpha'_n$ aos n pares de vértices (ou $x_\ell \alpha_\ell$, $\ell = 1, \dots, 2n$ aos $2n$ vértices)

2) A cada linha contínua de $x_\ell \alpha_\ell$ a $x_{\ell'} \alpha'_{\ell'}$, associe

$i G_{\alpha\alpha'}^{(\ell)}(x_\ell, x_{\ell'})$ e a cada linha de interação entre

$X_\ell(\alpha_\ell)$ e $X_{\ell'}(\beta_{\ell'})$

associe $-i U_{\alpha_\ell \alpha'_{\ell'}}(x_\ell, x_{\ell'})$

$\beta_{\ell'} \beta'_{\ell'}$

3) Integre sobre todas as coordenadas internas x_ℓ e some sobre todos os índices internos α_ℓ .

4) Multiplique o diagrama por $(-1)^F$ onde F é o número de circuitos fechados fermionicos.

5) A cada função de Green com índices temporais iguais (ex.

$G_{\alpha\alpha'}^{(0)}(x_1, x_1) = G_{\alpha\alpha'}^{(0)}(\vec{r}_1, t_1; \vec{r}_1, t_1)$) faça $G_{\alpha\alpha'}^{(0)}(\vec{r}_1, t_1; \vec{r}_1, t_1^+)$. (Operadores

de criação aparecem à esquerda após o ordenamento temporal a tempo igual)

Diagramas de Feynman na Rep. de (\vec{K}, ω)

Para sistemas homogêneos ou quase homogêneos (átomos, metais) é mais conveniente trabalhar no espaço \vec{K} . Também, na maioria dos casos, é útil trabalhar no espaço de frequências ω .

Fazemos então o transformado de Fourier "duplo"

$(\vec{r}, t) \rightarrow (\vec{K}, \omega)$ nas funções de Green:

$$G_{\alpha\alpha'}(x, x') = \frac{1}{(2\pi)^4} \int d^4k e^{i\vec{k} \cdot (x - x')} G_{\alpha\alpha'}(\vec{k})$$

onde $\vec{k} = \vec{K}, \omega$ é um quadrivetor covariante de modo que

$$\boxed{\vec{k} \cdot \vec{x} = \vec{K} \cdot \vec{r} - \omega t} \Rightarrow \boxed{G_{\alpha\alpha'}(\vec{r}, t, \vec{r}', t') = \int \frac{d^3\vec{k}}{(2\pi)^3} \frac{d\omega}{(2\pi)} e^{i\vec{k} \cdot (\vec{r} - \vec{r}')} e^{-i\omega(t - t')} G_{\alpha\alpha'}(\vec{k}, \omega)}$$

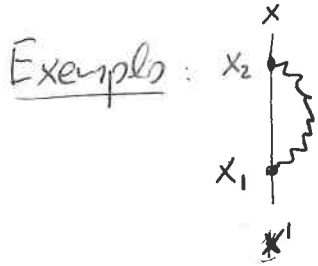
Nessa representação, o potencial U fica na forma:

$$U_{\alpha\alpha'(\vec{r}, t)} = U_{\alpha\alpha'(\vec{q}, \omega)} \delta(t - t') \quad (\text{Coulombiano e "instantâneo"})$$

$$= \frac{1}{(2\pi)^4} \int d^4k e^{i\vec{k} \cdot (\vec{r} - \vec{r}')} U_{\alpha\alpha'(\vec{k})} = \int \frac{d^3\vec{q}}{(2\pi)^3} e^{i\vec{q} \cdot (\vec{r} - \vec{r}')} U_{\alpha\alpha'(\vec{q})} \delta(t - t')$$

$$\left(\text{Já que } \delta(t - t') = \int \frac{dw}{2\pi} e^{-i\omega(t - t')} \right) \text{ sendo } \boxed{U_{\alpha\alpha'(\vec{q})} = \int d^3\vec{r} e^{-i\vec{q} \cdot \vec{r}} U_{\alpha\alpha'(\vec{r})}}$$

Como ficam os diagramas nesse caso?



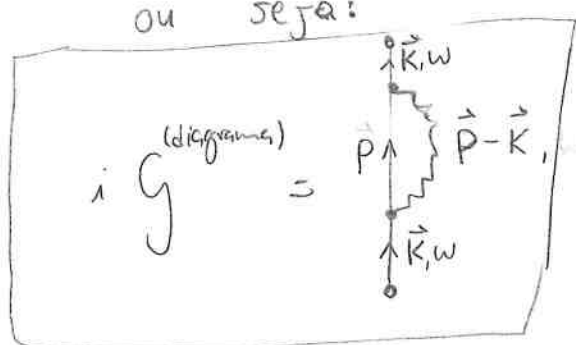
$$iG^{(Diagram)}(xx') = - \int d^4x_1 d^4x_2 G^{(0)}(x_1, x_2) G^{(0)}(x_2, x_1) G^{(0)}(x_1, x')$$

$$iG^{(Diagram)} = - \int d^4x_1 d^4x_2 \int \frac{d^4q d^4k d^4p d^4p'}{(2\pi)^4} e^{iq(x_1-x_2)} e^{ik(x_1-x')} e^{ip(x_2-x_1)} e^{ip'(x-x_2)} \\ \times U(q) G^{(0)}(k) G^{(0)}(p) G^{(0)}(p')$$

$$= - \int \frac{d^4q d^4k d^4p d^4p'}{(2\pi)^4} (2\pi)^4 \delta^4(p-q-k) (2\pi)^4 \delta(p-q-p') \\ \times U(q) G^{(0)}(k) G^{(0)}(p) G^{(0)}(p')$$

$$= - \int \frac{d^4k}{(2\pi)^4} \frac{d^4p}{(2\pi)^4} e^{ik(x-x')} U(p-k) G^{(0)}(k) G^{(0)}(p) G^{(0)}(k)$$

ou seja:



de modo que os vértices ficam na forma (momento é conservado em cada vértice):

